



## "مقاله پژوهشی"

## تجزیه پایداری عملکرد دانه ژنتیک‌های نخود (*Cicer arietinum* L.) با استفاده از روش AMMI

پیام پژشکپور<sup>۱</sup>, رحمت الله کریمی‌زاده<sup>۲</sup>, امیر میرزابی<sup>۳</sup> و محمد برزعلی<sup>۴</sup>

۱- استادیار پژوهشی، بخش تحقیقات علوم زراعی و باغی، مرکز تحقیقات و آموزش کشاورزی و منابع طبیعی استان لرستان، سازمان تحقیقات، آموزش و ترویج کشاورزی، خرم‌آباد، ایران (تویینده مسؤول: papezhkpour@yahoo.com)

۲- استادیار پژوهشی، ایستگاه تحقیقات کشاورزی دیه گچساران، گچساران، ایران

۳- استادیار پژوهشی، بخش تحقیقات علوم زراعی و باغی، مرکز تحقیقات و آموزش کشاورزی و ترویج کشاورزی، گچساران، ایران

۴- استادیار پژوهشی، بخش تحقیقات علوم زراعی و باغی، مرکز تحقیقات، آموزش و ترویج کشاورزی، ایلام، ایران

ایران

تاریخ دریافت: ۱۳۹۹/۰۷/۱۶  
تاریخ پذیرش: ۱۴۰۰/۰۱/۲۷  
صفحه: ۶۰ تا ۷۰

### چکیده

به منظور بررسی اثر ژنتیک، محیط (مکان × سال) و اثرات مقابله ژنتیک × محیط (مکان × سال) و اثرات مقابله ژنتیک × محیط (مکان × سال) بر عملکرد دانه ۱۸ ژنوتیپ نخود در قالب طرح بلوک‌های کامل تصادفی با سه تکرار در چهار مکان (خرم‌آباد، گچساران، ایلام و گنبد) طی دو سال زراعی (۱۳۹۳-۹۵) مورد ارزیابی قرار گرفتند. نتایج تجزیه واریانس مركب، معنی دار بودن اثر مکان، سال، اثر مقابله مکان × سال، ژنوتیپ، ژنوتیپ × سال، ژنوتیپ × مکان، ژنوتیپ × سال × مکان برای عملکرد دانه را نشان داد. بر اساس نتایج تجزیه واریانس AMMI مکان و سال منبع اصلی تغییرات بودند، که اثر دو مؤلفه اثر مقابله بر عملکرد دانه معنی دار بود. دو مؤلفه اصلی اول مدل ۳/۷۹ AMMI درصد از کل واریانس عملکرد را توجیه کردند. نتایج مقادیر پایداری (ASV) AMMI نشان داد که برای عملکرد دانه، ژنوتیپ‌های شماره G16، G1 و G6 کمترین مقدار و درنتیجه بالاترین پایداری عمومی به تمام محیط‌های آزمایش و ژنوتیپ شماره G10 با مقدار ۱۲/۸۹ بیشترین پایداری خصوصی را به مکان چهارم (E4) داشتند. در بین ژنوتیپ‌هایی که دارای کمترین ASV بودند، فقط ژنوتیپ (FLIP01-24C) G6 دارای میانگین عملکرد دانه بالاتر از میانگین کل ژنوتیپ‌ها بود. بر اساس مقادیر دو مؤلفه اول، ارزش پایداری AMMI(ASV) و شاخص پایداری ژنوتیپ‌های G12، G13 و G6 به عنوان پایدارترین ژنوتیپ به ترتیب با عملکرد متوسط (۱۴۳۸/۹، ۱۲۶۶/۳ و ۱۴۳۴/۲ کیلوگرم در هکتار) شناخته شد و نزدیک‌ترین ژنوتیپ به ژنوتیپ ایده‌آل بودند.

واژه‌های کلیدی: اثر مقابله ژنوتیپ × محیط، شاخص پایداری ژنوتیپ (GSI)، نخود

برنامه‌های اصلاح گیاهان زراعی می‌باشند (۱۰، ۹). توانایی یک ژنوتیپ به دارا بودن حداقل اثر مقابله در برابر تغییرات محیطی، تحت عنوان پایداری عملکرد ژنوتیپ تعريف شده است (۱۲، ۱۱). پایداری عملکرد، یکی از مطلوب‌ترین خصوصیات یک رقم زراعی است که باعث سازگاری آن به اکثر مناطق شده و با عنوان سازگاری عمومی نامیده می‌شود (۲۵). یکی از عوامل مهم اختلاف بین عملکرد بالقوه (پتانسیل) و عملکرد واقعی، عدم پایداری کافی عملکرد است (۹، ۲۷).

از طرف دیگر، جهت دستیابی به حداکثر تولید لازم است سازگاری ارقام مورد نظر به بهترین محیط رشد آن‌ها مشخص شوند که این موضوع تحت عنوان سازگاری خصوصی نامیده می‌شود (۶). در سازگاری خصوصی هدف این است که ژنوتیپی به دست آید که عملکرد خوبی در یک محیط خاص داشته باشد (۷). با توجه به اهمیت اثر مقابله ژنوتیپ × محیط، معمولاً بین‌زادگران، ژنوتیپ‌های واحد شرایط را جهت تعیین سازگاری عمومی و خصوصی آن‌ها در چند محیط مورد ارزیابی قرار می‌دهند. هدف از انتخاب برای سازگاری عمومی، شناسایی ژنوتیپی است که تقریباً در همه محیط‌ها عملکرد خوبی داشته باشد. اثر مقابله ژنوتیپ × محیط به عنوان تغییر نسبی عملکرد ژنوتیپ‌ها در محیط‌های مختلف تعريف شده

### مقدمه

حبوبات بعد از غلات دومین منبع غذایی انسان به شمار می‌روند و در کشور ایران بعد از گندم، اصلی‌ترین ماده غذایی مردم را تشکیل می‌دهند (۲۶). نخود سومین گیاه مهم از گروه حبوبات در جهان و مهم‌ترین آن‌ها در ایران است. سطح زیر کشت نخود در کشور حدود ۶۵۰ هزار هکتار است که از این سطح سالیانه حدود ۳۰۰ هزار تن نخود برداشت می‌شود (۱). کشاورزان نخود کار به ارقامی نیاز دارند که عملکرد بالای داشته باشند و این خصوصیت مطلوب را در دامنه وسیعی از شرایط محیطی و در خلال سال‌ها حفظ نمایند (۴). به‌منظور انتخاب بهترین ژنوتیپ برای محیط خاص و یا تعیین ژنوتیپ‌های پایدار در دامنه‌ای از محیط‌ها، ارقام و لاین‌های نخود در آزمایش‌های ناحیه‌ای ارزیابی شده و عملکرد دانه آن‌ها در سال‌ها و مناطق مختلف مورد مقایسه قرار می‌گیرد. عملکرد ژنوتیپ‌های نخود تا حد زیادی به محیط بستگی دارد. به طور کلی ژنوتیپ، محیط و اثر مقابله ژنوتیپ × محیط عملکرد یک رقم را تعیین می‌کنند (۱۳). با درنظر گرفتن سطح زیر کشت نخود، تنوع شرایط اقلیمی - زراعی مناطق مورد کشت و عکس العمل ارقام مختلف در شرایط محیطی متفاوت، معروفی ارقام پرمحصول که سازگاری وسیع داشته باشند حائز اهمیت است. سازگاری و پایداری عملکرد دو مفهوم مهم در

یافیان کردند که اثر متقابل ژنتیک × محیط با استفاده از مدل آثار اصلی افزایشی و اثرات متقابل ضرب پذیر (AMMI) در سطح احتمال یک درصد معنی دار بوده و چهار مؤلفه اصلی، ۹۴ درصد از تغییرات اثر متقابل ژنتیک در محیط را توجیه کردند.

آرام و همکاران (۴) دوازده ژنتیک نخود را برای پایداری عملکرد دانه در شش محیط مختلف در بنگالادش مورد ارزیابی قراردادند، اثر متقابل ژنتیک × محیط بسیار معنی داری برای عملکرد دانه گزارش نمودند و ۱۰/۲۹ درصد تغییرات عملکرد دانه مربوط به ژنتیکها بود.

افزایش روزافرون نقش حبوبات در امنیت غذایی کشور بسیار مهم است که این موضوع با تولید ارقام پایدار با عملکرد بالا تحقق می‌یابد. هدف از این تحقیق، ارزیابی اثر متقابل ژنتیک × محیط عملکرد دانه ۱۸ ژنتیک نخود از طریق تجزیه AMMI و بررسی الگوی سازگاری و پایداری عملکرد ژنتیک‌های پرمحصول بوده است.

### مواد و روش‌ها

در این تحقیق به منظور بررسی پایداری و الگوی سازگاری ژنتیک‌ها، ۱۷ ژنتیک پیشرفتنه نخود کابلی همراه با رقم آزاد (شاهد) در یک آزمایش مقایسه عملکرد به صورت کشت پاییزه طی دو سال زراعی ۱۳۹۳-۹۵ مورد ارزیابی قرار گرفتند. مناطق اجرای آزمایش شامل خرم‌آباد، گچساران، ایلام و گنبد بودند. مشخصات جغرافیایی ایستگاه‌های محل اجرای آزمایش و کد آن‌ها در جدول ۱ و نام، مبدأ و کد ژنتیک‌های نخود مورد بررسی در جدول ۲ ارائه شده است. طرح مورد استفاده در هر آزمایش، بلوک‌های کامل تصادفی با سه تکرار بود. هر ژنتیک در یک کرت شامل چهار خط به طول چهار متر و فاصله خطوط ۳۰ سانتی‌متر کشت شد. فاصله بوته‌ها روی ردیف ۷ سانتی‌متر بود. میزان بذر در هر ردیف کاشت ۶۰ عدد در نظر گرفته شد (۴۰). عملیات تهیه زمین شامل شخم، دیسک، تستیح و استفاده از دستگاه فاروچ برای تهیه جوی و پشتنه به طور معمول انجام شد. کلیه عملیات داشت شامل کوددهی و وجین به صورت یکسان برای همه کرت‌ها انجام شد. برداشت محصول پس از حذف حاشیه شامل دو ردیف کناری و ۲۵ سانتی‌متر از ابتدا و انتهای هر کرت، از سطحی معادل ۲/۱ مترمربع انجام شد. برای بررسی یکنواختی واریانس خطای آزمایش‌ها، آزمون بارتلت انجام شد، سپس با ثابت در نظر گرفتن اثر ژنتیک و تصادفی در نظر گرفتن اثر محیط، تجزیه واریانس مرکب صورت گرفت. محاسبات آماری شامل تجزیه واریانس مرکب، تجزیه اثر متقابل ژنتیک × محیط به روش AMMI و تعیین ارزش پایداری ژنتیک (۳۷، ۱۵) بودند. تجزیه اثر متقابل ژنتیک × محیط به روش AMMI با استفاده از رابطه زیر بروآورد شد:

$$Y_{ger} = \mu + \sigma_g + \beta_e + \sum \lambda_n y_{gn} + P_{ge} + \varepsilon_{ger}$$

Y: عملکرد ژنتیک وام در محیط وام و تکرار،  $\mu$ : میانگین کل،  $\sigma_g$ : اثر اصلی ژنتیک،  $\beta_e$ : اثر اصلی محیط،  $\lambda_n$ : مقدار منفرد برای محور مؤلفه اصلی،  $y_{gn}$ : که برابر با مقدار ویژه مربوط به همان مؤلفه اصلی است،  $P_{ge}$ : تعداد محورهای

است که به عنوان یک چالش برای بهترگران محسوب می‌شود، زیرا انتخاب ژنتیک‌های برتر را مشکل ساخته و باعث کاهش پیشرفت ژنتیکی می‌شود (۹).

اثر متقابل ژنتیک × محیط با استفاده از چندین روش اندازه‌گیری می‌شود که اساس همه آن‌ها ارزیابی ژنتیک‌ها در چند محیط هست. آزمایش‌های چند محیطی گیاهان زراعی، نقش مهمی در ارزیابی ژنتیک‌ها در بسیاری از مراحل برنامه‌های اصلاح و معرفی ارقام جدید دارند. متداول‌ترین روش تجزیه آزمایش‌های چند محیطی مبتنی بر فرض یکنواختی واریانس خطای در همه محیط‌های مورد آزمایش است، اما اغلب این موضوع در عمل اتفاق نمی‌افتد و می‌تواند صحبت ارزیابی ژنتیک‌ها را محدود نماید. پر واضح است که در چنین آزمایش‌هایی، به علت اختلاف عملکرد ژنتیک‌ها در محیط‌ها، واریانس اثر متقابل ژنتیک × محیط تغییر کرده و واریانس باقیمانده در محیط‌ها به علت تفاوت در شرایط طبیعی (خاک، آب و هوای) و همچنین عملیات اجرایی در محیط‌های مختلف تغییر می‌کند (۲۱). بکر و لئون (۵) اظهار داشتند که پایداری عملکرد یک ژنتیک ارتباط مستقیمی با اثر متقابل ژنتیک × محیط داشته و یک ژنتیک موفق باید عملکرد و پایداری بالایی در دامنه وسیعی از شرایط محیطی داشته باشد. در صورت وجود اثر متقابل ژنتیک × محیط، لازم است ژنتیک‌های پایدار با عملکرد نسبتاً ثابت در دامنه‌ای از محیط‌ها شناسایی شوند. تعیین پایداری و سازگاری ژنتیک‌ها توسعه محققان مورد مطالعه قرار گرفته است (۱۴، ۲۲، ۲۱).

در میان روش‌های آماری، تجزیه آماری، پایداری به روش AMMI (Additive main effect and multiplication interaction) در مطالعات بسیاری مورد استفاده قرار گرفته است. در مدل AMMI، ضرب رگرسیون و واریانس محیطی، قابل اعتمادترین ابزار برای محاسبه پایداری و سازگاری ژنتیک‌ها گزارش شده‌اند (۱۷). در مدل AMMI، مؤلفه‌های افزایشی برای اثرات اصلی (ژنتیک و محیط) و مؤلفه‌های ضرب پذیر برای اثر متقابل ژنتیک × محیط ترکیب می‌شوند (۳۳). این مؤلفه‌های اصلی اثر متقابل، برای تفسیر کارایی عملکرد و پایداری ژنتیک‌های ارزیابی شده در محیط‌های مختلف استفاده می‌شوند (۷). یکی از خروجی‌های تجزیه AMMI، بای پلات‌هایی است که اطلاعاتی درباره اثرات اصلی و متقابل ارائه داده و همچنین اطلاعات مفیدی درباره شیاهت مکان‌ها برای پاسخ سازگاری ژنتیک ارائه می‌دهند. اطلاعات بای پلات‌های AMMI امکان بررسی بصیری ارتباطات بین محیط‌ها، ژنتیک‌های مورد آزمون و اثر متقابل ژنتیک × محیط را فراهم می‌کند. در بای‌پلات، ژنتیک‌ها به صورت مربع و مکان‌ها به شکل بردار نشان داده شده‌اند. زاویه بین دو بردار مکانی، میزان همبستگی دو مکان را نشان می‌دهد. هر چه زاویه بین دو مکان کمتر باشد، دو مکان همبستگی بیشتر داشته و نقش مشابهی در گزینش ژنتیک‌ها دارند. زاویه ۹۰ درجه بین دو بردار مکانی عدم همبستگی دو مکان و زاویه بیشتر از آن نقش متضاد دو مکان در تعیین ژنتیک سازگار را نشان می‌دهد (۳۸). زالی و همکاران (۴۰) با بررسی ۱۷ ژنتیک نخود در پنج ایستگاه تحقیقات کشاورزی

ج- تعیین شاخص پایداری ژنوتیپ (GSI) (۳۵،۲۴)  
 $GSI = RASVi + RYi$   
 GSIi: شاخص پایداری ژنوتیپ نام در محیطها، RTB ژنوتیپ نام در محیطها براساس ASV و RYi: RTB ژنوتیپ نام در محیطها براساس میانگین عملکرد هستند.  
 تجزیه آماری داده‌ها با استفاده از نرمافزار SAS ۹.۱ و CROPSTAT انجام شد.

PCA باقیمانده در مدل AMMI، Ygn: بردار ویژه ژنوتیپ  $\delta_{en}$ : بردار ویژه محیط eam از n مولفه اصلی اثر متقابل (IPCA)، Pge: بردار ویژه خطای آزمایش هستند.  
 تعیین ارزش پایداری امی (ASV) با استفاده از رابطه (۱۹) زیر برآورد گردید:

$$ASV = \sqrt{\left( \left[ \frac{S_1}{S_{G\times t}} \times n_{1s} \right]^2 + \left[ \frac{S_2}{S_{G\times t}} \times n_{2s} \right]^2 + \left[ \frac{S_3}{S_{G\times t}} \times n_{3s} \right]^2 \right)}$$

جدول ۱- اطلاعات آبوهایی و مشخصات ایستگاه‌های محل اجرای آزمایش (۹۵-۱۳۹۳)

Table 1. Meteorological and geographical information of experimental locations (2014-2016)

محیط	طول و عرض جغرافیایی (درجه-دققه)	ارتفاع از سطح دریا (متر)	سال زراعی	کد	میانگین دمای ماهه (°C)	بارندگی (mm)
خرم آباد	۳۷° ۲۸' N	۱۱۷۰	۹۴-۱۳۹۳	E1	۱۳/۸	۳۲۶/۳
خرم آباد	۴۸° ۲۱' E	۱۱۷۰	۹۵-۱۳۹۴	E2	۱۳/۲	۷۴۳/۴
ایلام	۳۳° ۳۸' N	۹۷۰	۹۴-۱۳۹۳	E3	۱۴/۷	۳۲۵/۸
ایلام	۴۶° ۲۴' E	۹۷۰	۹۵-۱۳۹۴	E4	۱۷/۷	۷۳۷/۸
گچساران	۳۰° ۲۱' N	۷۲۲	۹۴-۱۳۹۳	E5	۲۰	۳۵۱/۶
گچساران	۵۰° ۴۸' E	۷۲۲	۹۵-۱۳۹۴	E6	۱۵/۵	۳۹۰/۱
گبند	۳۷° ۱۷' N	۵۲	۹۴-۱۳۹۳	E7	۱۵/۵	۲۷۹/۴
گبند	۵۵° ۱۸' E	۵۲	۹۵-۱۳۹۴	E8	۱۶/۶	۵۲۱/۵

جدول ۲- نام، مبدأ\* و کد ژنوتیپ‌های نخود مورد مطالعه

Table 2. Name, origin and code of the chickpea genotypes

نام ژنوتیپ	کد	ارتفاع بوته (سانتی‌متر)	تعداد روز تا درصد گلدهی	تعداد روز تا رسیدگی	وزن صد دانه (گرم)
FLIP03-63C	G1	۵۱/۷	۱۲۳	۱۵۱	۲۸/۵
FLIP03-87C	G2	۵۳/۵	۱۲۲	۱۵۱	۲۸
FLIP05-16C	G3	۵۲/۴	۱۲۳	۱۵۱	۲۶/۵
FLIP03-123C	G4	۵۰/۳	۱۲۳	۱۵۰	۲۹/۶
FLIP03-145C	G5	۵۴/۱	۱۲۳	۱۵۱	۲۸/۲
FLIP01-24C	G6	۴۸/۵	۱۲۱	۱۵۰	۳۲/۵
FLIP05-183C	G7	۵۲/۵	۱۲۲	۱۵۰	۳۰/۳
FLIP05-19C	G8	۵۳/۵	۱۲۲	۱۵۲	۳۱/۱
FLIP05-18C	G9	۵۵/۵	۱۲۲	۱۵۱	۳۱/۱
FLIP07-21C	G10	۵۶/۴	۱۲۲	۱۵۱	۳۲/۳
FLIP07-31C	G11	۵۱/۸	۱۲۱	۱۵۰	۳۲/۴
FLIP07-32C	G12	۵۲/۲	۱۲۳	۱۵۳	۳۰/۸
FLIP07-91C	G13	۵۰	۱۲۱	۱۵۱	۳۰/۶
FLIP08-12C	G14	۵۵/۱	۱۲۲	۱۵۱	۲۹/۷
FLIP08-23C	G15	۵۱/۹	۱۲۳	۱۵۱	۳۰/۲
FLIP01-52C	G16	۵۴/۵	۱۲۲	۱۵۱	۲۸/۵
FLIP88-85C	G17	۵۱/۳	۱۲۰	۱۵۲	۲۹/۳
Azad	G18	۵۲/۲	۱۲۱	۱۵۳	۳۰/۱

\*: مبدأ کلیه ژنوتیپ‌ها مرکز تحقیقات بین‌المللی مناطق خشک (ایکاردا) می‌باشد

واریانس عملکرد دانه روی داده‌های میانگین دوساله ۴ منطقه با ۱۸ ژنوتیپ نخود کابلی نشان داد که اثر مکان بسیار معنی‌دار بود ( $p < 0.001$ ). اثر متقابل ژنوتیپ × مکان و ژنوتیپ × سال نیز در سطح احتمال ۰/۰۱ معنی‌دار بود. بین ژنوتیپ‌های نخود تنفاوت بسیار معنی‌داری از لحظه عملکرد دانه مشاهده شد. اثرهای متقابل سال × مکان، ژنوتیپ × سال × مکان ژنوتیپ در مکان نیز معنی‌دار بودند (جدول ۳). معنی‌دار بودن اثر متقابل ژنوتیپ × محیط نشان می‌دهد که بیان فنوتیپی یک ژنوتیپ نسبت به ژنوتیپ دیگر در یک محیط برتر بوده، اما در محیطی دیگر نامطلوب است (۳۴). تنفاوت بین سال‌ها می‌تواند ناشی از یکسان نبودن عوامل جوی همچون میزان بارندگی، پراکنش آن در سال‌ها و توزیع متوازن بارندگی ماهیانه در دوره‌های مختلف رشدی گیاه،

## نتایج و بحث

در این پژوهش اثر محیط بیشترین سهم را در توجیه مجموع مربعات کل به‌خود اختصاص داد که این موضوع نشان‌دهنده دامنه وسیع‌تر اثرات اصلی محیط نسبت به اثرات اصلی ژنوتیپ بود. ابتدا تجزیه واریانس ساده (داده‌ها نشان داده نشده است) برای هر محیط انجام و آزمون بارتلت برای بررسی همگنی بودن واریانس‌های خطای آزمایش‌ها نیز انجام شد. با انجام آزمون بارتلت روی داده‌های ۸ محیط، فرض همگنی واریانس خطاهای آزمایش مورد تائید قرار گرفت ( $\chi^2 = 7/86^{ns}$ ). مقادیر محاسبه شده برای چولگی (۱/۵۴)، کشیدگی (۲/۴۹) و عدم معنی‌ار بودن سطح احتمال ( $> 0/06$ ) (P) بر اساس آزمون کولموگروف- اسمیرنوف (۲۳، ۳۳) نشان‌دهنده نرمال بودن توزیع داده‌ها هست. نتایج تجزیه

زنوتیپ‌ها (کمبود آب، تنش دمایی و حاصلخیزی کم خاک) را منعکس می‌کند (۳۱). از میانگین داده‌های دو سال در هر مکان استفاده شد تا به تجزیه و تحلیل اثر متقابل زنوتیپ × مکان با استفاده از تجزیه AMMI و همچنین سایر آمارهای پایداری برای تعیین پایدارترین زنوتیپ‌ها در مکان‌های مورد آزمایش پرداخته شود. نتایج تجزیه اثر متقابل زنوتیپ × محیط نشان داد که اثر محیط و اثر متقابل زنوتیپ × محیط برای عملکرد دانه معنی‌دار بود. زنوتیپ‌های نخود از نظر عملکرد دانه تفاوت معنی‌داری نداشتند (جدول ۴). سهم اثرهای اصلی برای مکان، زنوتیپ و همچنین اثر متقابل زنوتیپ × محیط برای عملکرد دانه به ترتیب ۷/۸۷، ۶۵/۰ و ۱۱/۶۴ درصد از مجموع مربعات کل بود و مؤلفه اصلی باقی مانده در مدل ۸/۰۳ درصد از مجموع مربعات اثر متقابل را بیان کردند. بالا بودن سهم مکان نشان‌دهنده تنوع زیاد بین مکان‌ها است. در تجزیه مدل AMMI چهار مولفه اصلی اول برای صفت عملکرد دانه معنی‌دار بودند و به ترتیب ۶/۱۸، ۷/۱۸ و ۷/۵ درصد برای عملکرد دانه از مجموع اثر متقابل زنوتیپ × محیط را به خود اختصاص دادند. این موضوع نشان می‌دهد که پاسخ‌های متفاوت عملکرد دانه زنوتیپ‌های نخود در محیط‌های مورد آزمون که به علت اثر متقابل زنوتیپ × محیط، بوده است، بنابراین بهمنظور شناسایی زنوتیپ‌های نخود با سازگاری خصوصی یا نسبتاً عمومی، ارزیابی بزرگنمایی و الگوهای اثر متقابل زنوتیپ × محیط، اهمیت زیادی در محیط‌های مورد آزمون دارد. مجموع سهم دو مؤلفه اول اثر متقابل برای عملکرد دانه ۷۹/۳ درصد از مجموع مربعات اثر متقابل زنوتیپ × مکان را توجیه کرد. این موضوع نشان‌گر آن است که دو مؤلفه اول و دوم بیش از دو سوم اثر متقابل زنوتیپ × محیط را تفسیر می‌کند و مؤلفه‌های بیشتر اهمیت زیادی ندارند.

با استفاده از این دو مؤلفه اول سهم هر زنوتیپ در برهمنکش مشخص شد. به طوری که هرچه سهم زنوتیپ از برهمنکش کمتر باشد، نشان‌دهنده پایداری بیشتر آن زنوتیپ است. بعضی از محققان اظهار نمودند که بهترین مدل، مدلی است که فقط دو مؤلفه اصلی اول معنی‌دار شوند و سایر مؤلفه‌ها واریانس کمی را به خود اختصاص داده باشند (۲۵). گائوج و زوبل (۱۶) در ارزیابی هفت زنوتیپ سویا در ۳۵ محیط از چهار مدل تجزیه واریانس، تجزیه به مؤلفه‌های اصلی، رگرسیون خطی و AMMI استفاده کردند. در روش تجزیه واریانس اثر متقابل زنوتیپ × محیط بسیار معنی‌دار گردید. در روش مؤلفه‌های اصلی دو مؤلفه اول معنی‌دار بودند. بر اساس عملکرد دانه مؤلفه اصلی اول مقدار زیادی از تغییرات اثر متقابل (۷۰/۷ درصد) را توجیه کرد. مؤلفه دوم نیز حدود ۱۸/۶ درصد تغییرات مشاهده شده را توجیه کرد، بنابراین بهنظر می‌رسد که پارامترهایی که بر اساس یک یا دو مؤلفه اصلی اول باشند، نتایج معتبر و قابل اطمینانی را ایجاد می‌نمایند (۲۹،۳۰). متوسط عملکرد دانه زنوتیپ‌های نخود در هر محیط از ۷۴۲/۹ کیلوگرم در هکتار در محیط E3 (ایلام

حداقل و حداکثر درجه حرارت هوا و خاک، مقدار پوشش برفی در مناطق و .... می‌باشد. اثر معنی‌دار مکان نیز می‌تواند به‌دلیل عواملی همچون خواص فیزیکی و شیمیایی خاک مناطق، طول و عرض جغرافیایی، ارتفاع از سطح دریا و ... باشد. اثر متقابل معنی‌دار زنوتیپ × سال ناشی از آن است که زنوتیپ‌ها در سال‌های مختلف واکنش متفاوتی داشته‌اند. اثر معنی‌دار برهمنکش زنوتیپ × سال × مکان نشان‌دهنده اختلاف بین عملکرد زنوتیپ‌ها از محیطی به محیط دیگر وجود نوسان در عملکرد دانه است که نیاز به ارزیابی زنوتیپ‌ها در محیط‌های گوناگون را برای شناسایی سازگاری عمومی و خصوصی نشان می‌دهد. به‌نظر می‌رسد که در برهمنکش معنی‌دار زنوتیپ × سال × مکان، افزون بر تفاوت زنوتیکی بین زنوتیپ‌ها، واکنش‌های متفاوت آن‌ها به عوامل جغرافیایی و اقلیمی هم موثر بوده است. برهمنکش معنی‌دار زنوتیپ × سال × مکان همچنین نشان‌های از تنوع زنوتیکی زنوتیپ‌های مورد بررسی، مکان‌های آزمایشی و سال‌هاست، پس امکان پهنه‌گیری از تجزیه پایداری وجود دارد و می‌توان زنوتیپ‌های سازگار به نواحی ویژه و یا کل محیط‌ها را شناسایی کرد. با مقایسه داده‌های بارندگی و متوسط درجه حرارت در زمان آزمایش و داده‌های درازمدت، به‌نظر می‌رسد که بیشترین میزان کاهش عملکرد ناشی از کاهش بارندگی و افزایش درجه حرارت و به عبارتی عوامل ناشی از تغییرات تصادفی سال می‌باشد. این نتیجه در برهمنکش معنی‌دار زنوتیپ × سال نیز دیده می‌شود.

گزارش شده است که اثر متقابل بالای زنوتیپ × محیط سرعت روند انتخاب را کاهش می‌دهد و توصیه‌های زنوتیپی را مشکل می‌سازد (۸). در این پژوهش، اثر محیط بیشترین سهم را در توجیه مجموع مربعات کل به خود اختصاص داد که این موضوع نشان‌دهنده دامنه وسیع‌تر اثرات اصلی محیط نسبت به اثرات اصلی زنوتیپ بود.

اسفاؤ و همکاران (۳) نیز با ارزیابی اثر متقابل زنوتیپ × محیط روی ۱۶ زنوتیپ لوبیا قرمز در ۱۸ محیط، بخش عده تنوع کل را به محیط نسبت دادند. نتایج سایر محققان روش نخود اهمیت محیط را در محاسبه درصد بیشتر مجموع مربعات کل نسبت به اثرات زنوتیپ و اثر متقابل زنوتیپ × محیط نشان دادند (۵،۳۹). متوسط عملکرد دانه هر زنوتیپ در محیط، از ۱۵۰/۶ تا ۱۲۶۶/۲ کیلوگرم در هکتار به ترتیب برای زنوتیپ‌های G<sub>2</sub> (FLIP03-87C) و G<sub>13</sub> (FLIP07-91C) متفاوت بود. متوسط عملکرد دانه زنوتیپ‌ها در محیط‌های مختلف (ازاد ۱۳۸۴/۴۸ کیلوگرم در هکتار بود. و عملکرد دانه رقم شاهد (ازاد ۱۴۴۷/۹ کیلوگرم در هکتار بود. برای بیشتر زنوتیپ‌ها محیط‌های E<sub>1</sub> و E<sub>2</sub> منجر به عملکرد دانه بیشتری نسبت به سایر محیط‌ها شدند. این موضوع ممکن است با شرایط بهتر رشد مرتبه باشد. محیط‌های E<sub>6</sub> کمترین عملکرد دانه را در مقایسه با سایر محیط‌ها داشتند. طبقه‌بندی محیط‌ها به محیط‌های مطلوب و نامطلوب بر اساس عملکرد دانه‌های نخود، حساسیت زنوتیپ‌ها به تنش‌های زنده (آفات و بیماری‌ها) و تنش‌های غیرزنده

اثر متقابل می‌شود، منطقی‌تر به نظر برسد. این موضوع زمانی که سهم مؤلفه اول و دوم از تغییرات اثر متقابل پائین باشد، مشهودتر و ضروری‌تر است. نتایج مقادیر پایداری AMMI نشان داد که برای عملکرد دانه، ژنوتیپ‌های شماره (ASV) G1، G6 و G16 کمترین مقدار و در نتیجه بالاترین پایداری عمومی به تمام محیط‌های آزمایش و ژنوتیپ شماره G10 با مقدار ۱۲/۸ بیشترین سازگاری خصوصی را به محیط چهارم (E<sub>4</sub>) داشتند. در بین ژنوتیپ‌هایی که دارای کمترین ASV بودند، فقط ژنوتیپ G6 دارای میانگین عملکرد دانه بالاتر از میانگین کل ژنوتیپ‌ها بود (جدول ۶).

نتایج حاصل از آماره‌های ASV کاملاً در نمودارهای AMMI<sub>2</sub> (شکل ۱) مورد تأکید قرار گرفت. از شاخص پایداری ژنوتیپ (GSI) نیز برای ارزیابی هم‌زمان پایداری و عملکرد بالای ژنوتیپ‌های نخود استفاده شد. بر اساس GSI، ژنوتیپ‌های نخود به طور هم‌زمان بر اساس پایداری و عملکرد بالا انتخاب می‌شوند. ژنوتیپ با کمترین مقدار GSI به عنوان ژنوتیپی با عملکرد بالا و پایدار شناخته می‌شود، بنابراین ژنوتیپ شماره ۶ با میزان GSI Rank متوسط (GSI=۹) به عنوان بهترین ژنوتیپ از نظر عملکرد دانه و پایداری شناخته شد (جدول ۵ و شکل‌های ۱ و ۳).

سال اول (تا ۲۹۱۱/۵ (خرم‌آباد، سال دوم) متغیر بود (جدول ۵). در جدول ۵ میانگین عملکرد دانه و مقادیر آماره‌های پایداری هر ژنوتیپ نشان داده شده است. ضریب مؤلفه اصلی اول (IPCA<sub>1</sub>) و ضریب مؤلفه اصلی دوم (IPCA<sub>2</sub>) به عنوان پارامترهای پایداری روش چندمتغیره AMMI مورداستفاده قرار می‌گیرند، به طوری که کمترین مقدار (مثبت یا منفی) پایدارترین ژنوتیپ را معرفی می‌کند (۲۰). ژنوتیپ‌های دارای مقادیر اولین مؤلفه اصلی (IPCA<sub>1</sub>) بیشتر (مثبت یا منفی) اثر متقابل بالایی با محیط دارند، در حالی که ژنوتیپ‌ها و محیط‌های دارای مقادیر اولین مؤلفه اصلی نزدیک به صفر دارای اثر متقابل پائین هستند، بنابراین ژنوتیپ‌های شماره G11، G13، G16، G4، G3، G7، G8، G12 و G2 دارای کمترین IPCA<sub>1</sub> بودند، ولی فقط میانگین عملکرد دانه ژنوتیپ‌های شماره G2 و G6 مناسب و بیشتر از میانگین کل است، بنابراین به عنوان ژنوتیپ‌های پایدار با پایداری عمومی بالا معرفی می‌شوند (جدول ۵). وجود تفاوت در ارتفاع پایدار انتخابی با استفاده از ضرایب مؤلفه اول یا دوم و مشکل بدن انتخاب، بر این نکته تأکید دارد که استفاده از آمار ASV (AMMI stability value) با توجه به تتفیق دو مؤلفه اصلی اول و دوم که منجر به توجیه بخش قابل توجهی از تغییرات

جدول ۳- تجزیه واریانس مرکب عملکرد دانه ژنوتیپ‌های نخود ارزیابی شده در هشت محیط

Tabel 3. Combined analysis of variance for seed yield chickpea genotypes evaluated in eight environments

منابع تغییرات	درجه آزادی	میانگین مربعات عملکرد دانه
منطقه	۳	۴۳۱۸۹۸۲/۶۱**
سال	۱	۲۸۷۲۵۴۱۳/۷**
منطقه×سال	۳	۸۱۴۴۷۱۹/۱۲**
خطای محیط (سال × منطقه/تکرار)	۱۶	۲۷۳۱۸۷/۳۱
ژنوتیپ	۱۷	۸-۵۸۵/۴۳**
ژنوتیپ×سال	۵۱	۲۱۶۵۲۳۴/۴۰**
ژنوتیپ × منطقه	۱۷	۲۳۶۷۳۷/۴۵**
ژنوتیپ × سال × منطقه	۳۲۳	۱۶۷۰۲۰/۶**
خطای آزمایشی	۳۲۳	۸۹۷۶۸/۱۸
کل	۴۳۱	-

\*\*: معنی‌دار در سطح احتمال٪۱

جدول ۴- نتایج تجزیه واریانس مدل AMMI برای عملکرد دانه ۱۸ ژنوتیپ نخود

Table 4. Anova of AMMI model for seed yield for 18 chickpea genotypes grown across eight environments

منابع تغییرات	درجه آزادی	مجموع مربعات	میانگین مربعات کل	درصد نسبت به مجموع مربعات کل	درصد نسبت به اثر متقابل محیط×ژنوتیپ
ژنوتیپ	۱۷	۴۵۶۶۵۰	۲۶۸۶۱/ <sup>ns</sup>	-۰/۶۵	
محیط	۷	۶-۹۰۱۸۰۰	۸۷۰-۲۶/ <sup>ns</sup>	۸۷/۷	
اثر متقابل	۱۱۹	۸۰۹-۳۵۰	۶۷۹۸۶/۱**	۱۱/۶۴	
مؤلفه اول	۲۳	۴۹۱۶۵۱۰	۲۱۳۷۶۱**		۶۰/۷
مؤلفه دوم	۲۱	۱۵۰۹۶۴۰	۷۱۸۸۷/۶**		۱۸/۶
مؤلفه سوم	۱۹	۵۴۲۹۰۰	۲۸۵۷۲/ <sup>ns</sup>		۶/۷
مؤلفه چهارم	۱۷	۴۸۳۵۱۱	۲۸۴۴۲/ <sup>ns</sup>		۵/۹
باقیمانده	۳۹	۶۳۷۷۷۷			
اشتباه	۱۴۳	۶۹۴۴۸۰۰			

\*ns و \*\*: به ترتیب غیر معنی‌دار و معنی‌دار در سطح احتمال٪۱

جدول ۵- رتبه‌بندی ۱۸ ژنوتیپ نخود بر اساس میانگین عملکرد دانه و نمرات IPCA و شاخص انتخاب ژنوتیپ (GSI) در هشت محیط  
Table 5. Ranking of chickpea genotypes by mean performance, IPCA1 scores and genotype selection index (GSI) across eight environments

کد ژنوتیپ	IPCA1	IPCA2	ASV	عملکرد دانه (کیلوگرم در هکتار)	Mean rank	Rank ASV	GSI	GSI rank	CV (%)
G1	-۷/۰۲	۴/۵۵	۴/۳۴	۱۳۱۹/۸	۳	۵	۸	۳	۴۲/۷
G2	-۱۰/۵۷	-۳/۹۳	۶/۲۹	۱۵۰۹/۴	۱۸	۱۱	۲۹	۱۴	۴۰/۳
G3	۷/۲	-۷/۹۹	۴/۴۴	۱۳۱۴/۶	۲	۶	۸	۴	۵۸/۸
G4	-۴/۱۵	-۴/۱۸	۲/۵۸	۱۳۴۱/۲	۴	۳	۷	۲	۵۱/۱
G5	-۸/۳۸	-۲/۹۵	۵/۰۹	۱۴۱۹/۴	۱۳	۷	۲۰	۱۱	۴۴/۱
G6	-۵/۷۸	-۰/۸۱	۴/۲۵	۱۴۳۴/۲	۱۵	۴	۱۹	۹	۳۷/۳
G7	۸/۳۷	-۱۲/۸۷	۵/۲۲	۱۳۵۴/۵	۵	۱۰	۱۵	۱۵	۵۹/۹
G8	۸/۹	-۶/۲۹	۵/۴۹	۱۳۵۷/۱	۷	۸	۱۵	۷	۵۲/۱
G9	-۹/۱	-۴/۷۷	۶/۰۹	۱۳۸۷/۱	۱۰	۹	۱۹	۱۰	۸۷/۶
G10	-۲۱/۱۶	۱۳/۷۳	۱۲/۰۹	۱۴۰۴/۲	۱۱	۱۸	۲۹	۱۵	۹۲/۳
G11	۱/۵۲	-۴/۴۶	۱۲/۰۶	۱۳۶۷/۸	۸	۲	۱۰	۵	۸۷/۱
G12	۱۵/۹۴	۱/۵۹	۱۲/۰۶	۱۴۲۸/۹	۱۶	۱۴	۳۰	۱۶	۸۷/۶
G13	۱/۷۱	۱/۳۴	۱۲/۸۷	۱۲۶۶/۳	۱	۱	۲	۱	۸۷
G14	-۱۸/۶۱	-۲/۵۷	۱۱/۱۴	۱۴۱۲/۳	۱۲	۱۵	۲۷	۱۳	۸۸/۹
G15	۲۰/۱۲	۴/۲۱	۱۲/۲۸	۱۴۲۳/۶	۱۴	۱۶	۳۰	۱۷	۸۸/۶
G16	۰/۷۵	-۵/۰۵	۱/۱۹	۱۳۷۷/۹	۹	۱۷	۲۶	۱۲	۸۷/۱
G17	۷/۸۱	۳۲/۷۹	۴/۹۱	۱۳۵۵/۳	۶	۱۲	۱۸	۸	۸۹/۲
G18	۱۱/۹۲	۶/۷۸	۷/۲۴	۱۴۴۷/۹	۱۷	۱۳	۳۰	۱۸	۸۷/۸

IPCA1: ضریب مؤلفه اول، IPCA2: ضریب مؤلفه دوم؛ ASV: آماره پایداری ایمی، Rank ASV: رتبه آماره پایداری ایمی، GSI: شاخص پایداری ژنوتیپ، GSI rank: رتبه شاخص پایداری ژنوتیپ، (%) CV: درصد ضریب تعییرات

جدول ۶- میانگین عملکرد دانه ژنوتیپ‌های نخود و مقادیر مؤلفه‌های اصلی اثر متقابل ۸ محیط  
Table 6. Mean of seed yield chickpea genotypes and interaction main component scores for 8 environments

IPCAE <sub>2</sub>	IPCAE <sub>1</sub>	عملکرد دانه (کیلوگرم در هکتار)	محیط	نام محیط و سال اجرا
۰/۱۳	۷/۰۷	۱۷۴۷/۳	E1	خرماباد سال اول (۹۳-۹۴)
۲۹/۱	۱۳	۲۹۱۱/۵	E2	خرماباد سال دوم (۹۴-۹۵)
۱/۱۴	۴/۵	۷۴۲۹	E3	ابلام سال اول (۹۳-۹۴)
۲/۲۸	-۴۱/۳	۱۵۲۰/۱	E4	ابلام سال دوم (۹۴-۹۵)
۵/۳۴	۷/۵	۹۴۹	E5	گچساران سال اول (۹۳-۹۴)
۱/۴۸	-۷/۹	۱۰۴۴/۸	E6	گچساران سال دوم (۹۴-۹۵)
۱۲/۸۳	۸/۴	۱۰۶۷/۵	E7	گنبد سال اول (۹۳-۹۴)
۱۳/۴	۸/۷	۱۰۹۳/۴	E8	گنبد سال دوم (۹۴-۹۵)

IPCA<sub>1</sub>: مؤلفه اصلی اول محیط، IPCAE<sub>2</sub>: مؤلفه اصلی دوم محیط

یا محیطها تعریف شده است و از دو دیدگاه مختلف مورد بررسی قرار می‌گیرد: ۱- پایداری استاتیک یا مفهوم بیولوژیکی که به عدم پاسخ ژنوتیپ به هر تعییر محیطی اشاره دارد- ۲- پایداری دینامیک یا مفهوم اگرونومیکی که به این واقعیت برمی‌گردد که ژنوتیپ به طور قابل پیش‌بینی به شرایط رشدی مناسب پاسخ خواهد داد (۲۸). معمولاً مفهوم استاتیک پایداری مربوط به ژنوتیپ‌های با عملکرد پایین است (۵) در حالی که مفهوم اگرونومیک باید با پتانسیل عملکرد خوب تکمیل گردد تا این اطمینان حاصل شود که برتری یک ژنوتیپ تحت دامنه وسیعی از محیط‌ها، عملیات مدیریتی و تنش‌های زنده و غیرزنده پایدار می‌ماند (۳۲).

در شکل ۲ نمودار ۲ نمودار AMMI بر اساس میانگین عملکرد ژنوتیپ‌ها یا مکان‌ها و مقادیر مؤلفه‌های اصلی اول برای صفت عملکرد دانه ارائه شده است. در این نمودار (شکل ۲) ژنوتیپی که از نظر عملکرد (محور افقی) مقدار بیشتر و از نظر اولین مؤلفه اثر متقابل (محور عمودی) مقدار کمتری (نژدیک به صفر) داشته باشد، ژنوتیپ مطلوب‌تری خواهد بود، زیرا این ژنوتیپ هم عملکرد بالای دارد و هم پایدار است (شکل ۲ و جدول ۵).

هرچه نمرات IPCA به صفر نزدیک‌تر باشد نشان‌دهنده پایداری بیشتر ژنوتیپ‌ها در محیط‌های مورد آزمون است. ازین‌رو، در نمودار بایپلات ژنوتیپ‌هایی که در مرکز بایپلات قرار دارند از پایداری عمومی برخوردار هستند و برای کشت در اکثر محیط‌ها توصیه می‌شوند و ژنوتیپ‌هایی که دور از مرکز بایپلات پراکنش یافته‌اند دارای پایداری خصوصی می‌باشند.

آماره ضریب تعییرات ژنوتیپی (CV) نشان می‌دهد که جدا از مقدار میانگین، کدام ژنوتیپ کمترین تعییرات را در بین محیط‌ها دارد. از این نظر ژنوتیپ شماره G6 با مقدار ۳۷/۳۸ درصد کمترین تعییرات عملکرد دانه را در بین محیط‌ها داشت و دارای عملکرد دانه بالاتر از میانگین کلی ژنوتیپ‌ها (۱۳۸۴/۴ کیلوگرم در هکتار) بود. بهنظر می‌رسد این ژنوتیپ (G6) واکنش خوبی به بهبود شرایط محیطی نشان دهد. میانگین عملکرد دانه این ژنوتیپ در محیط دوم ۲۹۲۴ کیلوگرم در هکتار بود و حداقل عملکرد دانه تولیدی این ژنوتیپ ۳۵۸۳/۳ کیلوگرم در هکتار و دامنه آن ۳۱۶۰/۸ کیلوگرم در هکتار بود. به عبارت دیگر این ژنوتیپ از پایین بیولوژیکی نسبتاً خوب با نوسان عملکرد پایین برخوردار بود. معمولاً پایداری به عنوان عملکرد غیرقابل تعییر در سال‌ها و

هرچه زاویه بین دو مکان کمتر باشد، دو محیط همبستگی بیشتر داشته و نقش مشابهی در گزینش ژنوتیپ‌ها دارند. زاویه ۹۰ درجه بین دو بردار مکانی عدم همبستگی دو محیط و زاویه بیشتر از آن نقش متناسب دو محیط در تعیین ژنوتیپ سازگار را نشان می‌دهد (۳۶، ۳۸). همچنین برای انتخاب مکان‌های مناسب که ژنوتیپ‌ها را بهتر از یکدیگر تفکیک کنند، محیط‌ها باید مقادیر IPCA1 بالا و IPCA2 کم داشته باشند (۴۰). بر این اساس محیط‌های E1، E3، E4 و E6 بیشترین نقش را در تفکیک ژنوتیپ‌های با عملکرد دانه بالا از یکدیگر داشتند (جدول ۶). همان‌طور که در شکل ۱ مشخص است محیط‌های E4 و E6 نقش مشابهی در تفکیک ژنوتیپ‌های G6 و G4 داشته‌اند. زاویه باز این محیط‌ها با محیط E2 که ژنوتیپ شماره G7 را تفکیک کرد، نشان‌دهنده واکنش متفاوت محیط E2 در اثر متقابل ژنوتیپ × مکان است. برترین ژنوتیپ‌ها برای محیط‌های E2، E5 و E4 بهترین شامل ژنوتیپ‌های شماره G13، G11 و G14 بودند. محیط‌های با تنوع بالا (قابلیت تمایز بیشتر) شامل E2 و E4 و مکان دارای کمترین تنوع (کمترین قدر تمایز) E3 بودند. در هر محیط آزمایشی بر اساس بالاترین مقادیر میانگین ژنوتیپ‌های برتر معرفی شد. بر این مبنای ژنوتیپ‌های G12 و G16 از نظر عملکرد دانه، بیشترین مقدار را به عنوان برترین ژنوتیپ نخود در تمام محیط‌ها داشت.

در مجموع نتایج نشان داد که مدل AMMI با بررسی اثر متقابل ژنوتیپ در محیط برای گیاه نخود قادر به تفکیک محیط‌ها به گروه‌های متفاوت بود. به طوری که هر گروه قادر به شناسایی ژنوتیپ‌های برتر خود بود. شرایط محیطی نقش‌های مختلفی در تخصیص ژنوتیپ مناسب آن محیط ایفا می‌کند و انتخاب مناسب بر مبنای ژنوتیپ پایدار در محیط‌های مختلف با عملکرد بالا نقش مهمی در پیشبرد اهداف اصلاحی نخود در آینده دارند. در این مطالعه نتایج ارزش پایداری امی (AMV)، GSI و نمودار با پلات با یکدیگر مطابقت داشتند.

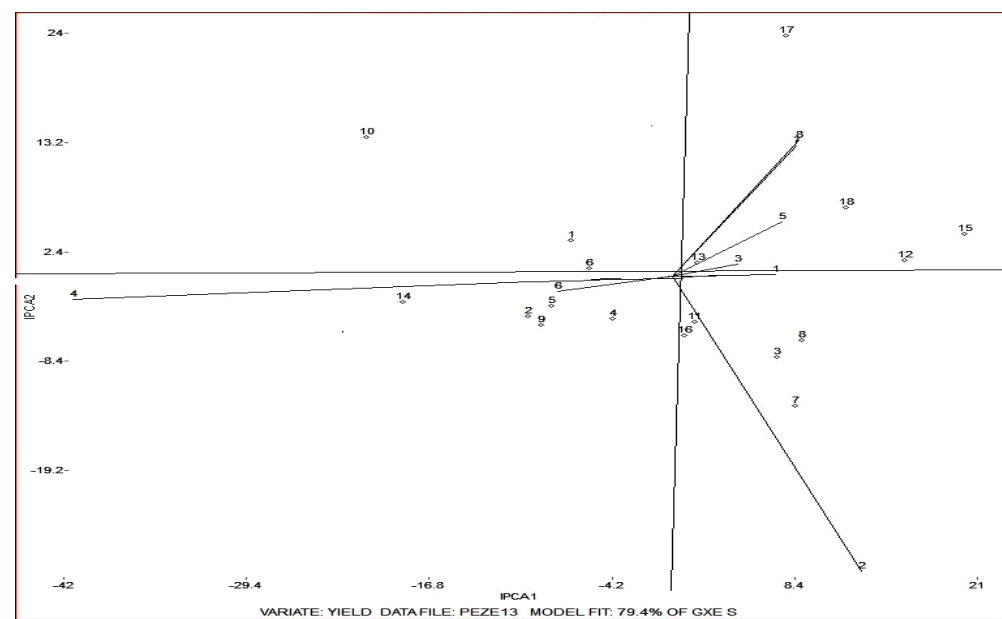
ژنوتیپ‌های G6، G12، G13 و G11 بیشترین پایداری را داشتند ولی ژنوتیپ‌های G6 و G12 میانگین عملکرد بیشتر از میانگین کل ژنوتیپ‌ها داشتند و از نظر اولین مؤلفه اصلی اثر متقابل کمترین مقدار را به خود اختصاص دادند. ژنوتیپ ۳، G12 و G6 هم در تجزیه AMMI و هم در مقایسه با ژنوتیپ ایده‌آل به عنوان ژنوتیپ‌های پایدار شناخته شد. این ژنوتیپ‌ها دارای میانگین عملکرد مناسبی است. با توجه به این که در شرایط محیطی متغیر پایداری نسبت به پتانسیل عملکرد از اهمیت بیشتری برخوردار است، کشت ژنوتیپ‌های G13، G12 و G6 که دارای پایداری بالا و عملکرد متوسط است قابل توصیه است.

در این مطالعه ژنوتیپ‌های G6، G12، G13، G11 و G12 بیشترین پایداری را داشتند ولی ژنوتیپ‌های G6 و G12 میانگین عملکرد بیشتر از میانگین کل ژنوتیپ‌ها داشتند و از نظر اولین مؤلفه اصلی اثر متقابل کمترین مقدار را به خود اختصاص دادند. خط عمود میانه نمودار، از میانگین کل آزمایش می‌گذرد، ژنوتیپ‌ها و محیط‌های طرف راست نمودار دارای عملکردی بیشتر از میانگین و ژنوتیپ‌های سمت چپ این خط دارای عملکرد کمتر از میانگین می‌باشند. محور افقی در میانه نمودار نشان دهنده اولین مؤلفه اثر متقابل که از نقطه صفر (IPCA<sub>1</sub>) می‌گذرد که ناحیه عدم وجود اثر متقابل را نشان می‌دهد. ژنوتیپ‌ها و مکان‌هایی که اثر متقابل بالایی را نشان می‌دهند دارای مقادیر بزرگ (مثبت یا منفی) برای اولین مؤلفه اصلی اثر متقابل می‌باشند. هرچه ژنوتیپ‌ها و محیط‌ها به خط افقی نزدیک‌تر باشند دارای اثر متقابل کمتری هستند. بر این اساس ژنوتیپ‌های G4، G13، G16، G11 و G4 با محیط‌های E1 و E3 از پایداری بیشتری برخوردار هستند (شکل ۱). اگر ژنوتیپ و محیط از لحاظ اولین مؤلفه اثر متقابل هم علامت باشند، دارای اثر متقابل مثبت، و اگر از نظر این مؤلفه دارای علامت یکسان نباشند، اثر متقابل منفی دارند.

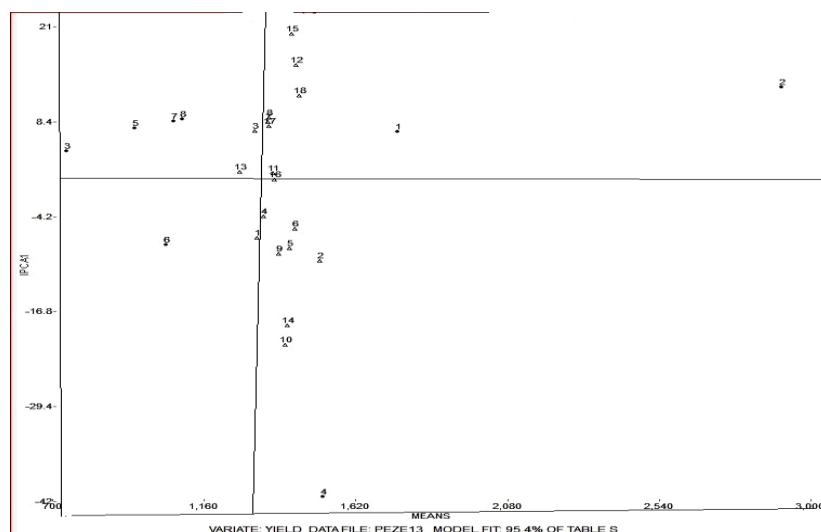
بر این اساس ژنوتیپ‌ها یا محیط‌هایی که مقدار IPCA بالاتری دارند (مثبت یا منفی)، اثر متقابل بالایی دارند در حالی که مقدار کم IPCA اثر متقابل کمتر و پایداری بیشتری را نشان می‌دهند (۱۸). ژنوتیپ‌های G13 و G12 برای عملکرد دانه با سازگاری بالا در مکان‌های E4 و G6 از اثر متقابل کمی برخوردار بود و پایداری بیشتری نشان داد (شکل ۲). از آنجاکه مؤلفه اصلی دوم نیز برای عملکرد دانه ۱۸/۶ درصد از اثر متقابل را توجیه کرد. برای رسیدن به نتایج مطمئن، از دو مینی مؤلفه اصلی نیز استفاده شد و بای پلات مقادیر مؤلفه‌های اول و دوم ژنوتیپ‌ها و محیط‌ها ترسیم گردید (شکل ۱).

آن‌هایی که از لحاظ مقادیر مؤلفه‌های اصلی اول و دوم اثر متقابل نزدیک به مبدأ مختصات (نزدیک به صفر) باشند دارای کمترین اثر متقابل می‌باشند. این نمودار (مؤلفه اصلی اول و دوم اثر متقابل) در مجموع ۷۹/۴ درصد از واریانس اثر متقابل ژنوتیپ و محیط را توجیه می‌کند. در این نمودار (شکل ۱) ژنوتیپ‌هایی که در مجاورت یک مکان قرار داشته باشند با آن محیط سازگاری خصوصی دارند و ژنوتیپ‌هایی که نزدیک محورهای مؤلفه‌ها قرار گرفته باشند دارای سازگاری عمومی هستند.

آکورا و همکاران (۲) استفاده از دو مؤلفه اول معنی‌دار در مدل AMMI را بهترین حالت برای بررسی اثر متقابل ژنوتیپ در محیط قلمداد کردند. در بای‌پلات، ژنوتیپ‌ها بر اساس شماره و محیط‌ها به شکل بردار نشان داده شده‌اند. زاویه بین دو بردار مکانی، میزان همبستگی دو محیط را نشان می‌دهد.



شکل ۱- بای پلات دو مؤلفه اصلی اول و دوم اثر متقابل ژنتیپ×محیط در مدل AMMI<sub>2</sub> برای عملکرد دانه ۱۸ ژنتیپ نخود در ۸ محیط  
Figure 1. Biplot of IPCA1 and IPCA2 scores for 18 chickpea genotypes evaluated in eight environments



شکل ۲- بای پلات مدل AMMI<sub>1</sub> اثر متقابل ژنتیپ×محیط برای عملکرد دانه ۱۸ ژنتیپ نخود در ۸ مکان  
Figure 2. AMMI 1 biplot of interaction of genotype×environment for seed yield of 18 chickpea genotypes in 8 location

## منابع

- Ahmadi, K., H. Gholizadeh, H. Ebadzadeh, R. Hoseinpour, F. Hatami, B. Mohiti, B. Fazli and M. Rafiei. 2014. Agricultural year book (2012-2013), Vol.1. Ministry of Jihad-e-Agriculture, <http://www.maj.ir/portal>ShowFile.aspx> (In Persian).
- Akcura, M., Y. Kaya and S. Taner. 2005. Genotype-environment interaction and phenotypic stability analysis for grain yield of durum wheat in the central Anatolian region. Turkish Journal of Agriculture and Forestry, 20: 369-375.
- Asfaw, A., T. Assefa, B. Amsalu, K. Negash, F. Alemayehu, F. Gurum, Y. Rezene, C. Finenissa, M. Alnafi and C. Daba. 2008. Adaption and yield stability of small red bean elite lines in Ethiopia. International Journal of Plant Breeding and Genetics, 2(2): 51-63.
- Azam, M.G., M.S. Iqba, M.A. Hossain and M.F. Hossain. 2020. Stability Investigation and Genotype  $\times$  Environment Association in Chickpea Genotypes Utilizing AMMI And GGE Biplot Model." Genetics and Molecular Research, 19(3): 1-15.
- Becker, H. and J. Leon. 1988. Stability analysis in plant breeding Plant Breeding, 101: 1-23.
- Baquedano, F.J., F. Valladares and F.J. Castillo. 2008. Phenotypic plasticity blurs ecotypic divergence in the response of *Quercus coccifera* and *Pinus halepensis* to water stress European Journal of Forest Research, 6: 495-506.
- Baxevanos, D., C. Goulas, J. Rossi and E. Braojos. 2008. Separation of cotton cultivar testing sites based on representativeness and discriminating ability using GGE biplots. Agronomy Journal, 100: 1230-1236.
- Caliskan, M.E., E. Erturk, T. Sogut, E. Boydak and H. Arioglu. 2007. Genotype  $\times$  environment interaction and stability analysis of sweet potato (*Ipomoea batatas*) genotypes. Journal New Zealand Journal of Crop and Horticultural Science, 35: 87-99.
- Cattivelli, L., F.W. Rizza, E. Badeck, A.M. Mazzucotelli, E. Mastrangelo, C. Francia Mare, A. Cooper and I. H. Delacy. 1994. Relationships among analytic methods used to study genotypic variation and genotype- by- environment interaction in plant breeding multi- environment trials. Theoretical and Applied Genetics, 88(5): 561-572.
- Costa, J.G.C., C.A. Rava, F.J.P. Zimmermann and L.C. Melo. 2008. Yield stability and adaptability of common bean line developed by Embrapa. Pesquisa Agropecuária Tropical, 2(38): 141-145.
- Eberhart, S.T. and W. Russell. 1966. Stability parameters for comparing varieties. Crop Science, 6: 36-40.
- Falconer, D.S. and T.F.C. Mackey. 1996. Introduction to Quantitative Genetics. (4th Ed.). Addison-Wesley Longman, Harlow, UK.
- Farshadfar, E. 2008. Incorporation of AMMI stability value and grain yield in a single non-parametric index (GSI) in bread wheat. Pakistan Journal of Biological Sciences, 11(14): 1791-1796.
- Ferreira, D.F., C.G.B. Demetrio, B.F.J. Manly, A.D.A. Machado and R. Vencovsky. 2006. Statistical model in agriculture: Biometrical methods for evaluating phenotypic stability in plant breeding Cerne, Lavras, 12: 373-388.
- Gauch, H.G. 1992. Statistical Analysis for Regional Yield Traits: AMMI Analysis of Factorial Designs.
- Gauch, H.G. and R.W. Zobel. 1996. AMMI analyses of yield trials. In Kang, M. S. and H. G. Gauch (Eds.), Genotype by Environment Interaction. CRC. Boca Raton, Florida, 85-122.
- Gauch, H.G. 2007. MATAMODEL Version 3.0: Open Source Software for AMMI and Related Analyses. Crop and Soil Science. Cornell University, Ithaca, NY 14853.
- Grausgruber, H., M. Oberforster, M. Werteker, P. Ruckenbauer and J. Vollmann. 2000. Stability of quality traits in Austrian-grown winter wheats. Field Crops Research, 66: 257-267.
- Ghodarti-Niari, F. and R. Abdolshahi. 2014. Evaluation of yield stability of 40 bread wheat (*Triticum aestivum* L.) genotypes using additive main effects and multiplicative interaction (AMMI). Iran. J. Crop. Sci, 16(4): 322-333 (In Persian).
- Hu, X.Y., S.W. Yan and K.L. Shen. 2013. Heterogeneity of error variance and its influence on genotype comparison in multi-location trials. Field Crops Research, 149: 322-328.
- Hussein, M.A., A. Bjornstad and A.H. Aastveit. 2000. SASG x ESTAB: A SAS program for computing genotype  $\times$  environment stability statistics. Agronomy Journal, 92: 454-459.
- Katsura, K., Y. Tsujimoto, M. Oda, K.I. Matsushima, B. Inusah, W. Dogbe and J.I. Sakagami. 2016. Genotype-by-environments interaction analysis of rice (*Oryza* spp.) yield in a flood plain ecosystem in West Africa. European Journal of Agronomy, 73: 152-159.
- Kolmogorov, A.N. 1933. Sulla determinazione empirica di una legge di distribuzione. Giornale dell'Istituto Italiano degli Attuari, 4: 83-91.
- Kumar Bose, L., N. Namdeorao Jambulkar, K. Pande and O. Nath Singh. 2014. Use of AMMI and other stability statistics in the simultaneous selection of rice genotypes for yield and stability under direct-seeded conditions. Chilean Journal of Agricultural Research, 74(1): 3- 9.
- Liang, S., G. Ren, J. Liu, X. Zhao, M. Zhou, D. McNeil and G. Ye. 2015. Genotype - by- environment interaction is important for grain yield in irrigated Lowland rice. Field Crops Research, 180: 90-99.

27. Majnoun Hosseini, N. 2006. Production of Pulse Crops. Jihad-e Daneshghahi Press, University of Tehran Branch, 284 pp (In Persian).
28. Messina, C.D., D. Podlich, Z. Dong, M. Samples and M. Cooper. 2011. Yield trait performance landscapes: from theory to application in breeding maize for drought tolerance. *Journal of Experimental Botany*, 62: 855-868.
29. Mofidian, S.M.A. and A. Mogadam. 2013. Analysis of ecotype × location interaction in cold-region alfalfa ecotypes. *Iranian Journal of Crop Sciences*, 15(2): 181-195 (In Persian).
30. Navabi, A., R.C. Yang, J. Helm and D.M. Spaner. 2006. Can spring wheat growing mega-environments in the northern great-plains be dissected for representative locations or niche-adapted genotypes. *Crop Science*, 46: 1107-1116.
31. Pereira, H.S., L.G. Bueno, M.J.D. Peloso, A. de, Abreu, F.B. Moreiva, J.A.A. Martins, A. Wendland, L.C. de, T. Faria, L.P.O. Souza and L.C. Melo. 2014. Agronomic performance and stability of Andean common bean lines with white grains in Brazil. *Crop Breeding*, 73: 130-137.
32. Singh, R.P. and R.M. Trethowan. 2007. Breeding spring bread wheat for irrigated and rain-fed production systems of the developing world. In: Kang, M.S., P.M. Priyadarshan (eds.), *Breeding Major Food Staples*. Blackwell Publishing, Oxford, 109-139.
33. Sadiyah, H. and A. F. Hadi. 2016. AMMI model for yield estimation in multi-environment trials: A comparison to BLUP. *Agriculture and Agricultural Science Procedia*, 9: 163-169.
34. Smirnov, N. 1948. Table for estimating the goodness of fit of empirical distributions. *Ann. Math. Stat.*, 19: 279-281.
35. Thennarasu, K. 1995. On Certain Nonparametric Procedures for Studying Genotype Environment Interactions and Yield Stability. PhD. PJ School IARI, New Delhi, India.
36. Tumuhimbise, R., R. Melis, P. Shanahan and R. Kawuki. 2014. Genotype × environment interaction effects on early fresh storage root yield and related traits in cassava. *The Crop Journal*, 2: 329-337.
37. Yan, W. and I. Rajcan. 2002. Biplot analysis of test sites and trait relations of soybean in Ontario Crop Science, 42: 11-20.
38. Yan, C.W. and M.S. Kang. 2003. *GGE Biplot Analysis: A Graphical Tool for Breeders, Geneticists, and Agronomists*. CRC Press, Boca Raton, FL, USA.
39. Yaghotipoor, A., E. Farshadfar and M. Gheytoli. 2009. Study of yield stability in pea using AMMI model in Kermanshah. *Plant Production*, 32(1): 25-37 (In Persian).
40. Zali, H., S.H. Sabaghpour, E. Farshadfar, P. Pezeshkpour, M. Safikhani, R. Sarparast, and A. Hashembeigi. 2007. Stability analysis of yield in chickpea genotypes by additive main effects and multiplicative interaction (AMMI). *Journal. Crop Production. Process*, 11(42): 173-180 (In Persian).
41. Zali, H., S.H. Sabbaghpour, A.A. Farshadfar and P. Pezeshkpour. 2009. Stability analysis of chickpea genotypes using ASV parameter compare to other stability methods. *Iranian Journal Field Crop Scince*, 40(2): 21-29 (In Persian).

## **Analysis of Yield Stability of Chickpea (*Cicer arietinum* L.) Genotypes using AMMI Method**

**Pezeshkpour, Payam<sup>1</sup>, Rahmatollah Karimizadeh<sup>2</sup>, Amir Mirzaei<sup>3</sup> and Mohhamad Barzali<sup>4</sup>**

---

1- Assistant Professor, Crop and Horticultural Science Research Department, Lorestan Agricultural and Natural Resources Research and Education Center, AREEO, Khorramabad, Iran  
(Corresponding author: papezeshkpour@yahoo.com)

2- Research Assistant, Gachsaran Agriculture Research Station, AREEO, Gachsaran, Iran

3- Research Assistant, Crop and Horticultural Science Research Department, Ilam Agricultural and Natural Resources Research and Education Center, AREEO, Ilam, Iran

4- Research Assistant, Crop and Horticultural Science Research Department, Golestan Agricultural and Natural Resources, Research and Education Center, AREEO, Gonbad, Iran

Received: October 7, 2020

Accepted: April 16, 2021

---

### **Abstract**

To study genotype, environment and genotype  $\times$  environment interaction effects for seed yield on chickpea, eighteen chickpea genotypes were evaluated in four locations (Khorramabad, Ilam, Gachsaran, and Gonbad) for two cropping seasons (2014-2016). The experiment were conducted using a randomized complete block design with three replications. Combined analysis of variance for seed yield showed that the main effects of location, year, location  $\times$  year, genotype, genotype  $\times$  year, genotype  $\times$  location, genotype  $\times$  year  $\times$  location interaction effect, were highly significant. Location and year main effect were the main source of variation that accounted for 86.1% of the total yield variation. Analysis of variance of additive main effects and multiplicative interaction (AMMI) showed that the first two IPCAs were significant and explained 79.3% of the total yield variation. The results of AMMI (ASV) stability values indicated that for seed yield, genotypes 16, 4, 6 and 1 had the lowest value and therefore the highest general stable for all test environments and genotype G10 with a value of 12.89 of the highest were highly adapted to environment (E4). Based on the values of the first two principal components, AMMI stability value (ASV) and genotype stability index (GSI), genotypes G12, G13 and G6 were identified as the most stable medium yielding genotype respectively (1438.9, 1266.3 and 1434.2 kg / ha) and the closest genotype to ideal genotype.

**Keywords:** Chickpea, Genotype  $\times$  environment, Genotype stability index (GSI)